

Phonon (Fortssetzung)

Ergebnis der allgemeinen Phonon Hamiltonian:

$$\| H_{\text{Phonon}} = \sum_{j,q} \hbar \omega_{q,j} \left(b_{q,j}^\dagger b_{q,j} + \frac{1}{2} \right) \|$$

Hamiltonoperator der Kristallschwingungen

- (i) Die Quasiteilchen (Quasi, da es sich ev. wie ein Teilchen verhält (vgl. 2. Quantisierung, obwohl dies kollektive Anregungen sind) der Kristallschwingungen werden mit $b_{q,j}^\dagger$, $b_{q,j}$ erzeugt und vernichtet.
Sie heißen Phonon!
- (ii) Die Vertauschungsrelation von b^\dagger, b haben ein Verhalten wie Bose-Teilchen. Damit sind die Phononen meso- oder Bosonen. \Rightarrow Jeder Zustand mit beliebig vielen Teilchen besetzbar!
- (iii) Die Form mit Erzeuger Vernichter ist für klassische Formulierung verteilhaft. Wir führen diese auch für andere Felder ein: Photonenfeld, Elektronenfeld. Details im Abschnitt über zur Quantisierung.
- (iv) Gitterschwingungen haben Nullpunktsenergie (Quantisierung)

(v) Energie der Gitterschwingungen ist quantisiert.

(vi) Eigenzustände sind die Phonenzustände:

$$| \{n_{q,j}\} \rangle = | n_{q_1, j_1} \dots n_{q_n, j_n} \dots \rangle = \frac{b_{q_1, j_1}^{+ n_{q_1, j_1}}}{\sqrt{n_{q_1, j_1}!}} \dots \frac{b_{q_n, j_n}^{+ n_{q_n, j_n}}}{\sqrt{n_{q_n, j_n}!}} | 0 \rangle$$

Zustände mit $n_{q_1, j_1} \dots n_{q_n, j_n} \dots$

Phononen in den Moden $q_{j_1}, \dots, q_{j_n}, \dots$

(vii) Phononen sind Bosonen, die mittels Bose-Einstein-Verteilung bestimmt wird über die Bose-Einstein-Verteilung bestimmt

$$n_{q,j} = \frac{1}{e^{\epsilon_{q,j}/k_B T} - 1}$$

(viii) Auslenkungen der Ionen mit b und b^\dagger dargestellt werden können:

$$u_{j,\alpha}(t) = \frac{1}{\sqrt{M_j N}} \sum_{j'} A_{j'}^\alpha(q) e^{i q \cdot R_j} \sqrt{\frac{\hbar}{2 M_j \omega_j}} (b_{q,j}^\dagger + b_{q,j})$$

D.h. $u_{j,\alpha}$ hängt direkt von $b_{q,j}^\dagger, b_{q,j}$

Bei thermischer Besetzung:

$$\langle b_{q,j}^\dagger \rangle = 0 \Rightarrow \langle u_{j,\alpha} \rangle = 0$$

d.h. die mittlere Auslenkung verschwindet

Aber die Standardabweichung der Auslenkung (keine kollektive Schwingung)

$$\sigma^2 = \langle (u - \langle u \rangle)^2 \rangle \neq 0$$

D.h. die Phononen schwanken um den Mittelwert!

$$\sigma_{q,j}^2 \propto (2 n_{q,j} + 1) \text{ abh\u00e4ngt sich mit Temperatur!}$$

(xi) Bisher nur harmonische Näherung.

Anharmonische Effekte z.B. u^3 f\u00fchren zu Zerspannung:

$$H_{\text{tot}} \propto b_{1j_1}^+ b_{12j_2} b_{2j_2} + \text{l.c.}$$

wo in einem in nicht energetische Phonon zerfällt!

(Endliche Lebensdauer des Quasiteilchen)

IV.4 Anwendung: die Wärmekapazität

Dieser Abschnitt handelt von Betrag der Phonon zur spezifischen Wärmekapazität

Betrachten wir die mittlere Energie der Phononen:

$$\langle H \rangle = E = \sum_{j,q} \left[\underbrace{\frac{1}{\exp\left(\frac{\hbar\omega_{j,q}}{k_B T}\right) - 1}}_{\text{Bose Verteilung}} + \frac{1}{2} \right] \hbar\omega_{j,q}$$

1) Hochtemperaturlimit: ($k_B T \gg \hbar\omega_{j,q}$, $\frac{\hbar\omega_{j,q}}{k_B T} \ll 1$)

$$\frac{1}{\exp(x) - 1} = \frac{1}{x} - \frac{1}{2} + \frac{x}{12} + \dots$$

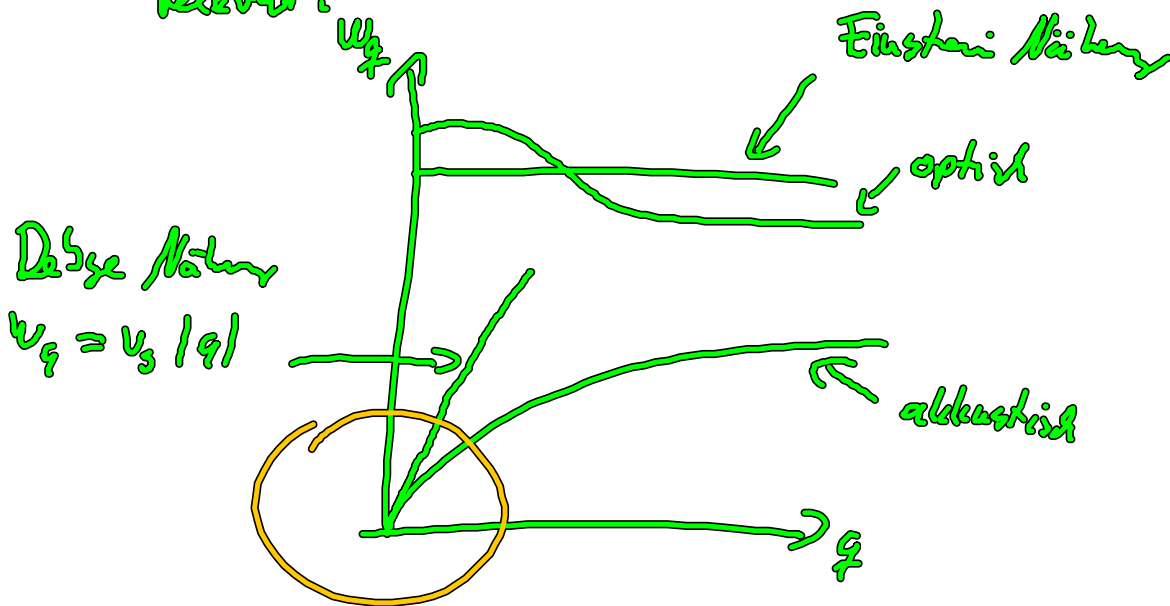
$$E \stackrel{k_B T \gg \hbar\omega_{j,q}}{\approx} \sum_{j,q} \left[\frac{k_B T}{\hbar\omega_{j,q}} - \frac{1}{2} \frac{\hbar\omega_{j,q}}{k_B T} + \dots + \frac{1}{2} \right] \hbar\omega_{j,q}$$

$$= \sum_{j,q} k_B T \left(1 + \frac{1}{2} \left(\frac{\hbar\omega_{j,q}}{k_B T} \right)^2 \right)$$

$$\approx 3 \cdot N k_B T \quad \text{Ergebnis des Dulong-Paris}$$

2) Niedrigtemperatur Limit

Wegen der hohen Energi der optischen Phononen nur akustische Phononen relevant:



$$E_{\text{akustisch}} = \sum_{\vec{q}} \frac{\hbar v_s |\vec{q}|}{\exp\left(\frac{\hbar v_s |\vec{q}|}{k_B T}\right) - 1} + E_0$$

Nullpunktsenergie

Wenn das Kristall groß genug ist:

$$\sum_{\vec{q}} \rightarrow \frac{V}{(2\pi)^3} \int d^3 \vec{q}$$

$$E = \frac{V}{(2\pi)^3} \sum_{\vec{q}} \int d^3 \vec{q} \frac{\hbar v_s |\vec{q}|}{\exp\left(\frac{\hbar v_s |\vec{q}|}{k_B T}\right) - 1} \stackrel{\text{kk}}{=} \frac{V}{(2\pi)^3} \int_0^{2\pi} d\varphi \int_0^{\pi} d\theta \int_0^{q_{\text{max}}} dq \frac{\hbar v_s |\vec{q}|}{\exp\left(\frac{\hbar v_s |\vec{q}|}{k_B T}\right) - 1}$$

$$\stackrel{\text{kk}}{=} \frac{V}{(2\pi)^3 \hbar^3} (k_B T)^4 \sum_{\vec{q}} \frac{4\pi}{v_s^3} \int_0^{x_{\text{max}}} \frac{x^3}{e^x - 1} dx$$

Substitution

$$x = \frac{\hbar v_s |\vec{q}|}{k_B T}$$

Für niedrige Temperaturen können wir $q_{\text{max}} \rightarrow \infty$ setzen, da der Integrand schnell abfällt.

Wir sehen dass dann $E \propto T^4$

für niedrige Temperaturen gilt.

An der Potenz der Temperaturabhängigkeit kann man feststellen, welche Beiträge im Festkörper der Wärmekapazität für niedrige Temperaturen dominiert.

3) Zweidimensionaler

Für Temperaturen zwischen dem niedrigen Temperaturlimit und dem Hochtemperaturlimit. Müssen wir uns Gedanken um q_{max} machen! Schnell ist die Anzahl der erlaubten q festgelegt

Wir wählen für q_{max} ein Wert, so dass die von q_{max} umschlossene Kugel entsprechend v^3 q Volumen enthält

$$\frac{V}{(2\pi)^3} \frac{4\pi}{3} \frac{\omega_{D0}^3}{v_s^3} = N$$

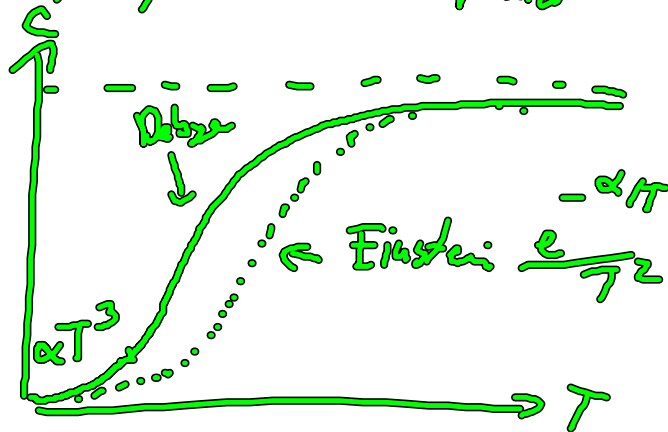
Kugelvolumen.

=> Bestimmung der Debye Frequenz ω_{D0} bzw.

$$\omega_{D0} = \left(\frac{6\pi^2 N}{v_s^3} \right)^{\frac{1}{3}} = (6\pi^2 n)^{\frac{1}{3}}$$

$$E = \frac{V}{(2\pi)^3} \frac{4\pi}{3} (k_B T)^4 \sum_j \frac{4\pi}{v_s^3} \int_0^{\frac{\omega_{D0}}{k_B T}} \frac{x^3}{e^x - 1} dx$$

Für die spezifische Wärmekapazität $f\left(\frac{\hbar \omega_D}{k_B T}\right)$



Beitrag der optischen Phononen (Einstein-Näherung)

In Einstein-Näherung wird angenommen (für optische Phononen)

$$\omega_{q,j} = \omega_j E$$

konstante Energie

$$E - F_0 = \frac{V}{(2\pi)^3} 4\pi \sum_j \int_0^{q_{max,j}} dq q^2 \frac{\hbar \omega_j E}{\exp\left(\frac{\hbar \omega_j E}{k_B T}\right) - 1}$$

$$= 3N \frac{\hbar \omega_j E}{\exp\left(\frac{\hbar \omega_j E}{k_B T}\right) - 1}$$

Mit $k_B T_E = \hbar \omega_j E$ ist T_E die Einstein-Temperatur

Ergebnis:

(i) Die Debye-Temperatur

$$k_B T_D = \hbar \omega_D \quad (\text{Typisch } T_D \approx 100 \text{ K})$$

trennt den klassischen von quantenmechanischen Bereich

(ii) klassische Grenzfall $\frac{T_D}{T} \rightarrow 0$ ergibt $3\rho N k_B T = E$

(iii) Quantenfall $\frac{T_D}{T} \rightarrow \infty$ mit $E \propto T^4$

(iv) spezifische Wärm $\propto T^3$ (für kleine T)

\propto konst. (für große T)

(v) optische Phänomene spielen für die Teiltemperatur eine so wichtige Rolle!

V 2. Quantisierung (kurze Einführung)

Erinnerung an harmonische Oszillatoren der Quantenmechanik:

Operatoren b und b^\dagger erzeugen und vernichten.

Quant (Photon) im Grundzustand des harm. Oszillators

Ziel: Hamiltonoperatoren und Zustände (Elektron, Photon etc. ...)
mit Erzeugen und Vernichten von Teilchen in verschiedenen
Zuständen zu beschreiben. Elegante und einzigartige Formulierung

Vorgehen: Mehrere Wege

1) Konstruktion: z.B. Fermionen

Ein Teilchen Schrödingergl. \Rightarrow Slater determinante

\Rightarrow Einführung von Erzeugen und Vernichten
zw. räumlich verschiedenen Teilchenzahl.

2) Mit Methode der Querschnittlinie

Vorteil: Herleitung aller Terme (auch Querschnitt) mit einheitlichen Prinzipien.

V.1 Mathematische Rückzug: Funktionalableitung und Lagrange St. für Felder

Punktstruktur:

Lagrange Fkt von endlich vielen Koordinaten q_i, \dot{q}_i

Bei Quantisierung von Feldern: z.B. $\phi^4(x)$ ist der Ort der Indizes. Analogie zur partiellen Ableitung + Lagrange Fkt!

1. Schritt Funktional Ableitung (Rechnung) (Herleitung s.

$$\begin{array}{l} 1.) \frac{\partial q_i}{\partial q_k} = \delta_{ij} \\ \frac{\partial \dot{q}_i}{\partial \dot{q}_k} = \delta_{ik} \end{array} \left| \begin{array}{l} \frac{\delta \phi(x)}{\delta \phi(x')} = \delta(x-x') \\ \frac{\delta \dot{\phi}(x)}{\delta \dot{\phi}(x')} = \delta(x-x') \end{array} \right. \begin{array}{l} \text{Feynmann und Hibbs,} \\ \text{Quantenmechanik und Pfadintegral} \end{array}$$

Kettenregel:

$$2. \frac{d f(q_i)}{d q_i} = \frac{\partial f(q_i)}{\partial q_k} \frac{\partial q_k}{\partial q_i} \left| \frac{\delta f(\phi(x))}{\delta \phi(x')} = \frac{\partial f(\phi(x))}{\partial \phi(x)} \frac{\delta \phi(x)}{\delta \phi(x')}$$

Source

$$\begin{aligned} 3. \frac{\delta}{\delta \phi(x')} \frac{\partial \phi(x)}{\partial x} &\stackrel{\text{rip}}{=} \frac{\delta}{\delta \phi(x')} \frac{\phi(x+dx) - \phi(x)}{dx} \\ &= \frac{1}{dx} (\delta(x+dx-x') - \delta(x-x')) = \frac{\partial}{\partial x} \delta(x-x') \end{aligned}$$

Lagrange St.

$$\frac{d}{dt} \frac{\partial L}{\partial \dot{q}_i} = \frac{\partial L}{\partial q_i} \Rightarrow \frac{d}{dt} \frac{\delta L}{\delta \dot{q}(x)} = \frac{\delta L}{\delta q(x)}$$